

Starkniederschlagshöhen und -spenden gemäß KOSTRA-DWD-2020

Rasterfeld 137162

(Zeile 137, Spalte 162)

Regenspende und Bemessungsniederschlagswerte in Abhängigkeit von Wiederkehrzeit T und Dauerstufe D

| Dauerstufe D | | Wiederkehrzeit T | | | | | | | | | | | | | | | | | |
|--------------|-----|------------------|------------|------|------------|------|------------|------|------------|------|------------|-------|------------|-------|------------|-------|------------|-------|------------|
| | | 1 a | | 2 a | | 3 a | | 5 a | | 10 a | | 20 a | | 30 a | | 50 a | | 100 a | |
| min | Std | mm | l / (s ha) | mm | l / (s ha) | mm | l / (s ha) | mm | l / (s ha) | mm | l / (s ha) | mm | l / (s ha) | mm | l / (s ha) | mm | l / (s ha) | mm | l / (s ha) |
| 5 | | 7,2 | 240,0 | 9,0 | 300,0 | 10,1 | 336,7 | 11,6 | 386,7 | 13,7 | 456,7 | 15,9 | 530,0 | 17,3 | 576,7 | 19,2 | 640,0 | 21,9 | 730,0 |
| 10 | | 9,4 | 156,7 | 11,8 | 196,7 | 13,2 | 220,0 | 15,2 | 253,3 | 17,9 | 298,3 | 20,8 | 346,7 | 22,6 | 376,7 | 25,1 | 418,3 | 28,6 | 476,7 |
| 15 | | 10,7 | 118,9 | 13,4 | 148,9 | 15,1 | 167,8 | 17,3 | 192,2 | 20,4 | 226,7 | 23,7 | 263,3 | 25,8 | 286,7 | 28,6 | 317,8 | 32,6 | 362,2 |
| 20 | | 11,7 | 97,5 | 14,6 | 121,7 | 16,4 | 136,7 | 18,8 | 156,7 | 22,2 | 185,0 | 25,8 | 215,0 | 28,1 | 234,2 | 31,1 | 259,2 | 35,5 | 295,8 |
| 30 | | 13,0 | 72,2 | 16,3 | 90,6 | 18,3 | 101,7 | 21,0 | 116,7 | 24,8 | 137,8 | 28,8 | 160,0 | 31,4 | 174,4 | 34,8 | 193,3 | 39,6 | 220,0 |
| 45 | | 14,4 | 53,3 | 18,1 | 67,0 | 20,3 | 75,2 | 23,3 | 86,3 | 27,5 | 101,9 | 31,9 | 118,1 | 34,7 | 128,5 | 38,5 | 142,6 | 43,9 | 162,6 |
| 60 | 1 | 15,5 | 43,1 | 19,4 | 53,9 | 21,8 | 60,6 | 24,9 | 69,2 | 29,5 | 81,9 | 34,2 | 95,0 | 37,2 | 103,3 | 41,3 | 114,7 | 47,0 | 130,6 |
| 90 | 1,5 | 17,0 | 31,5 | 21,3 | 39,4 | 23,9 | 44,3 | 27,4 | 50,7 | 32,4 | 60,0 | 37,5 | 69,4 | 40,9 | 75,7 | 45,3 | 83,9 | 51,7 | 95,7 |
| 120 | 2 | 18,2 | 25,3 | 22,7 | 31,5 | 25,5 | 35,4 | 29,2 | 40,6 | 34,6 | 48,1 | 40,1 | 55,7 | 43,7 | 60,7 | 48,4 | 67,2 | 55,2 | 76,7 |
| 180 | 3 | 19,9 | 18,4 | 24,8 | 23,0 | 27,9 | 25,8 | 32,0 | 29,6 | 37,8 | 35,0 | 43,8 | 40,6 | 47,8 | 44,3 | 53,0 | 49,1 | 60,4 | 55,9 |
| 240 | 4 | 21,2 | 14,7 | 26,5 | 18,4 | 29,7 | 20,6 | 34,1 | 23,7 | 40,3 | 28,0 | 46,7 | 32,4 | 50,9 | 35,3 | 56,4 | 39,2 | 64,3 | 44,7 |
| 360 | 6 | 23,1 | 10,7 | 28,9 | 13,4 | 32,5 | 15,0 | 37,2 | 17,2 | 44,0 | 20,4 | 51,0 | 23,6 | 55,6 | 25,7 | 61,6 | 28,5 | 70,2 | 32,5 |
| 540 | 9 | 25,2 | 7,8 | 31,5 | 9,7 | 35,4 | 10,9 | 40,6 | 12,5 | 48,0 | 14,8 | 55,6 | 17,2 | 60,6 | 18,7 | 67,2 | 20,7 | 76,6 | 23,6 |
| 720 | 12 | 26,8 | 6,2 | 33,5 | 7,8 | 37,7 | 8,7 | 43,2 | 10,0 | 51,0 | 11,8 | 59,2 | 13,7 | 64,5 | 14,9 | 71,5 | 16,6 | 81,4 | 18,8 |
| 1080 | 18 | 29,2 | 4,5 | 36,6 | 5,6 | 41,1 | 6,3 | 47,1 | 7,3 | 55,6 | 8,6 | 64,5 | 10,0 | 70,3 | 10,8 | 77,9 | 12,0 | 88,8 | 13,7 |
| 1440 | 24 | 31,1 | 3,6 | 38,9 | 4,5 | 43,7 | 5,1 | 50,0 | 5,8 | 59,2 | 6,9 | 68,6 | 7,9 | 74,7 | 8,6 | 82,8 | 9,6 | 94,4 | 10,9 |
| 2880 | 48 | 36,0 | 2,1 | 45,0 | 2,6 | 50,6 | 2,9 | 58,0 | 3,4 | 68,5 | 4,0 | 79,4 | 4,6 | 86,6 | 5,0 | 95,9 | 5,5 | 109,4 | 6,3 |
| 4320 | 72 | 39,2 | 1,5 | 49,1 | 1,9 | 55,1 | 2,1 | 63,1 | 2,4 | 74,7 | 2,9 | 86,6 | 3,3 | 94,4 | 3,6 | 104,6 | 4,0 | 119,2 | 4,6 |
| 5760 | 96 | 41,7 | 1,2 | 52,1 | 1,5 | 58,6 | 1,7 | 67,1 | 1,9 | 79,4 | 2,3 | 92,0 | 2,7 | 100,3 | 2,9 | 111,1 | 3,2 | 126,7 | 3,7 |
| 7200 | 120 | 43,7 | 1,0 | 54,7 | 1,3 | 61,4 | 1,4 | 70,4 | 1,6 | 83,2 | 1,9 | 96,5 | 2,2 | 105,1 | 2,4 | 116,5 | 2,7 | 132,8 | 3,1 |
| 8640 | 144 | 45,4 | 0,9 | 56,8 | 1,1 | 63,9 | 1,2 | 73,1 | 1,4 | 86,5 | 1,7 | 100,2 | 1,9 | 109,3 | 2,1 | 121,1 | 2,3 | 138,0 | 2,7 |
| 10080 | 168 | 46,9 | 0,8 | 58,7 | 1,0 | 66,0 | 1,1 | 75,6 | 1,3 | 89,3 | 1,5 | 103,6 | 1,7 | 112,9 | 1,9 | 125,1 | 2,1 | 142,6 | 2,4 |

Starkniederschlagshöhen und -spenden gemäß KOSTRA-DWD-2020

Rasterfeld 137162

(Zeile 137, Spalte 162)

Örtliche Unsicherheiten in Abhängigkeit von Wiederkehrzeit T und Dauerstufe D

| Dauerstufe D | | Wiederkehrzeit T | | | | | | | | |
|--------------|-----|------------------|-----|-----|-----|------|------|------|------|-------|
| | | 1 a | 2 a | 3 a | 5 a | 10 a | 20 a | 30 a | 50 a | 100 a |
| min | Std | ± % | ± % | ± % | ± % | ± % | ± % | ± % | ± % | ± % |
| 5 | | 11 | 10 | 10 | 10 | 11 | 11 | 11 | 11 | 12 |
| 10 | | 10 | 11 | 12 | 13 | 14 | 15 | 15 | 16 | 16 |
| 15 | | 12 | 14 | 15 | 16 | 17 | 18 | 18 | 19 | 19 |
| 20 | | 13 | 15 | 16 | 17 | 19 | 19 | 20 | 20 | 21 |
| 30 | | 15 | 17 | 18 | 19 | 20 | 21 | 22 | 22 | 23 |
| 45 | | 16 | 18 | 19 | 20 | 21 | 22 | 23 | 23 | 24 |
| 60 | 1 | 16 | 18 | 19 | 20 | 22 | 23 | 23 | 24 | 24 |
| 90 | 1,5 | 16 | 18 | 19 | 20 | 22 | 23 | 23 | 24 | 24 |
| 120 | 2 | 16 | 18 | 19 | 20 | 21 | 22 | 23 | 23 | 24 |
| 180 | 3 | 15 | 17 | 19 | 20 | 21 | 22 | 22 | 23 | 23 |
| 240 | 4 | 15 | 17 | 18 | 19 | 20 | 21 | 22 | 22 | 23 |
| 360 | 6 | 14 | 16 | 17 | 18 | 20 | 20 | 21 | 21 | 22 |
| 540 | 9 | 13 | 15 | 16 | 17 | 19 | 20 | 20 | 21 | 21 |
| 720 | 12 | 13 | 15 | 16 | 17 | 18 | 19 | 19 | 20 | 20 |
| 1080 | 18 | 12 | 14 | 15 | 16 | 17 | 18 | 18 | 19 | 20 |
| 1440 | 24 | 12 | 14 | 15 | 16 | 17 | 17 | 18 | 18 | 19 |
| 2880 | 48 | 11 | 13 | 14 | 14 | 15 | 16 | 17 | 17 | 18 |
| 4320 | 72 | 11 | 13 | 13 | 14 | 15 | 16 | 16 | 17 | 17 |
| 5760 | 96 | 12 | 13 | 13 | 14 | 15 | 15 | 16 | 16 | 17 |
| 7200 | 120 | 12 | 13 | 13 | 14 | 15 | 15 | 16 | 16 | 16 |
| 8640 | 144 | 12 | 13 | 13 | 14 | 14 | 15 | 15 | 16 | 16 |
| 10080 | 168 | 12 | 13 | 13 | 14 | 14 | 15 | 15 | 16 | 16 |

Parameter für abweichende T und D

Lokationsparameter ξ (Xi)

15,8979522

Skalenparameter α (Alpha)

5,54306936

Formparameter κ (Kappa)

-0,1

1. Koutsoyiannis-Parameter θ (Theta)

0,03355801

2. Koutsoyiannis-Parameter η (Eta)

0,7886225

Parameter für dauerstufenübergreifende Extremwertschätzung nach KOUTSOYIANNIS et al. 1998.

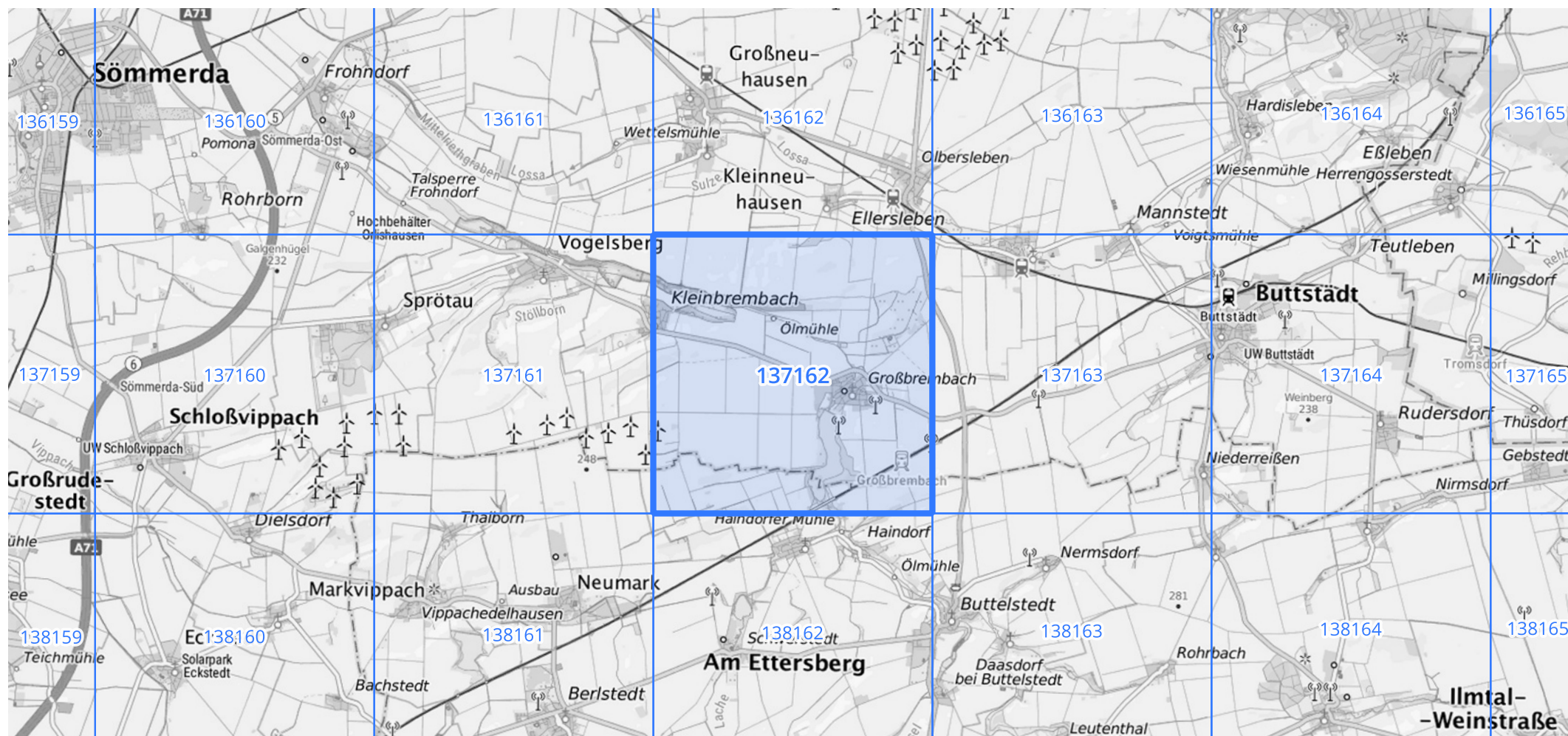
Siehe auch Anwendungshilfe zu KOSTRA-DWD-2020 des Deutschen Wetterdienstes.

Starkniederschlagshöhen und -spenden gemäß KOSTRA-DWD-2020

Rasterfeld 137162

(Zeile 137, Spalte 162)

Übersichtskarte des Rasterfeldes 137162, M 1 : 100 000



Quelle Rasterdaten: KOSTRA-DWD-2020 des Deutschen Wetterdienstes, Stand 12/2022.

Seite 3 von 3

Kartendarstellung: © Bundesamt für Kartographie und Geodäsie (2023), Datenquellen: https://sgx.geodatenzentrum.de/web_public/gdz/datenquellen/Datenquellen_TopPlusOpen.html

Für die Richtigkeit und Aktualität der Angaben wird keine Gewähr übernommen. Erstellt 01/2023.